

# КИБЕРНЕТИКА

---

МРНТИ 50.01.84  
[https://doi.org/10.53939/1560-5655\\_2024\\_1\\_6](https://doi.org/10.53939/1560-5655_2024_1_6)

Избасарова А.Ж.<sup>1</sup>, Кудайкулов А.К.<sup>2</sup>, Ташев А.А.<sup>2</sup>

<sup>1</sup>Қазақ ұлттық аграрлық университеті, Алматы қ., Қазақстан

<sup>2</sup>ҚР БФМ FK Ақпараттық және есептеуіш технологиялар институты ,  
Алматы қ., Қазақстан

## ЖЕРГІЛІКТІ ЖЫЛУ АҒЫНДАРЫНЫҢ, ЖЫЛУ АЛМАСУЛАРДЫҢ ӘСЕРІ КЕЗІНДЕ ӨЗЕКТІҚ ТЕРМО-КЕРНЕУЛІ КҮЙІН ЗЕРТТЕУДІ АВТОМАТТАНДЫРУ

---

**Түйіндеме:** Энергетикалық қондырылардың көптеген көтергіш элементтері жергілікті жылу ағындарының және конвективті жылу алмасулардың әсерінен болады. Оның салдарынан шектелген ұзындықтағы өзек түрінде көтергіш элементтерде термо-кернеулі деформацияланған күй пайда болады. Сондықтан арнайы есептеуіш алгоритмдерін және шектеулі ұзындықтағы өзекшелерді автоматтандырылған зерттеудің тиісті бағдарламаларын өзірлеу өзекті болып табылады. Бұл ретте өзірленген жүйе зерттелетін өзектің физика-механикалық және геометриялық сипаттамаларын және бір мезгілде жергілікті конвективті жылу алмасудың болуын ескеруі тиіс. Бұл жұмыста энергияны сақтаудың іргелі заңдары қолданылады. Өзірленген есептеуіш алгоритмі IBM PC Python бағдарламасы түрінде жүзеге асырылады. Алынған нәтижелер кестелер түрінде ұсынылады.

**Түйінді сөздер:** автоматтандыру, кесте, график, Python программы.

• • •

**Аннотация:** Многие несущие элементы энергетических установок находятся под воздействием локальных тепловых потоков и конвективных теплообменов. Вследствие чего в несущих элементах в виде стержней ограниченной длины возникает термо-напряженно деформированное состояние. Поэтому разработка специальных вычислительных алгоритмов и соответствующих программ автоматизирующих исследования стержня ограниченной длины является актуальной. При этом разработанная система должна учитывать физико-механические и геометрические характеристики исследуемого стержня и одновременного наличия локальных конвективных теплообменов. В данной работе применяются фундаментальные законы сохранения энергии. Разработанный вычислительный алгоритм реализуется на IBM PC в виде Python программы. Полученные результаты представляются в виде таблиц и графиков.

**Ключевые слова:** автоматизация, таблица, графика, Python программа.

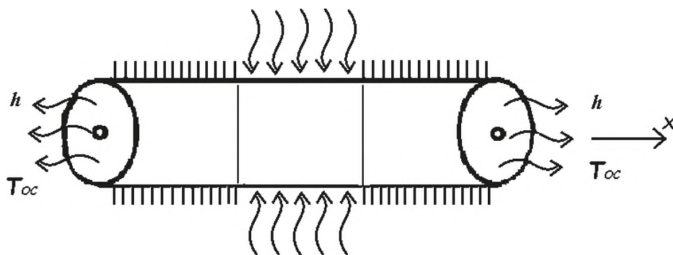
• • •

**Abstract:** Many load-bearing elements of power plants are influenced by local heat flows and convective heat exchangers. Because of this, a deformed thermo-stress state is formed in the bearing elements in the form of a rod of limited length. Therefore, it is important to develop special computational algorithms and corresponding programs for automated research of rods of limited length. At the same time, the developed system must take into account the physical-mechanical and geometric characteristics of the studied core and the simultaneous presence of local convective heat exchange. This work uses the fundamental laws of energy saving. The developed calculation algorithm is implemented in the form of an IBM PC Python program. The results are presented in tables.

**Keywords:** automation, table, graph, Python program.

**Кіріспе.** Қазіргі заман энергетикалық құрылғылардың өндіріс орындарындағы технологиялық процестерде негізі жылу көздері әсер етеді. Сондықтан, энергетикалық құрылғылар мен қайта өңдеу технологиялық линиялардағы тірек құрылымдары сенімді жұмыс жасауы үшін олардың термомеханикалық құйларін зерттеу технологияларын жасау қажет. Бұл зерттеу технологиялары негізгі фундаменталдық заңдардың негізінде құрылуы қажет. Энергетикалық құрылғылар мен өндіріс технологияларындағы линиялардың сенімді жұмыс жасауын алдын ала болжай үшін, жылу көздері әсеріндегі негізі құрылым элементтерін, термомеханикалық құйларін зерттеудің автоматикалық жүйелерін құру қажет. Бұндай жүйелерді құру осы зерттеудің өзекті мәселеі болып табылады.

**Зерттеу әдістері.** Шектеулі ұзындығы  $L$  [см] өзек түрінде және түрақты көлденең қимасы  $F$  [см<sup>2</sup>] конструкцияның салмақ түсетін элементі қарастырылады. Өзектің физикалық-механикалық қасиеттері өзек материалының жылу өткізгіштік коэффициенті  $k_{xx} \left[ \frac{\text{Ватт}}{\text{см}^2 \cdot \text{С}} \right]$ , жылу кеңею  $\alpha \left[ \frac{1}{\text{с} \cdot \text{С}} \right]$ , және серпімділік модулю  $E \left[ \frac{\text{Н}}{\text{см}^2} \right]$  зерттелетін өзек  $l = \frac{L}{3}$  [см] бірдей ұзындығының үш элементтімен дискретизирленеді. ОХ осін солдан онға бағыттаймыз. Ол өзектің осінен сәйкес келеді. Өзектің көлденең сол және он жақ шеттерінің аудандары арқылы оларды қоршаған ортамен жылу алмасу жүреді. Бұл жағдайда жылу алмасу коэффициенттері  $h = \left| \frac{\text{Ватт}}{\text{см}^2 \cdot \text{С}} \right|$ , ал қоршаған ортадың температурасы  $T_{00}$  [°C]. Сонымен қатар, өзектің екінші (ортада) элементтің бүйір бетінде түрақты қарқындылықпен  $q \left[ \frac{\text{Ватт}}{\text{см}^2} \right]$  жылу ағыны жүргізіледі. Өзектің бірінші және үшінші элементтерінің бүйір беті толығымен жылу оқшауландырылған. Зерттелетін тапсырманың есептік схемасы-1-суретте келтірілген [1].



1-сурет – Тапсырмандың есептік схемасы

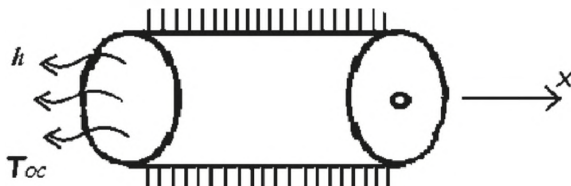
Әрбір дискретті әлементтің ұзындығына ыңғайлыш болу үшін температураларың тараулу заны жергілікті координаттар жүйесіндегі квадраттық сплайн функциясының көмегімен аппроксимациялаймыз.

$$T(x) = \varphi_i(x)T_i + \varphi_j(x)T_j + \varphi_k(x)T_k = \frac{2x^2 - 3lx + l^2}{l^2}T_i + \frac{4lx - 4x^2}{l^2}T_j + \frac{2x^2 - lx}{l^2}T_k, \quad 0 \leq x \leq l. \quad (1)$$

Мұнда жергілікті координаттар жүйесінде (бір дискретті әлементтің ұзындығы шегінде)

$$T_i = T(x=0); \quad T_j = T\left(x = \frac{l}{2}\right); \quad T_k = T(x=l).$$

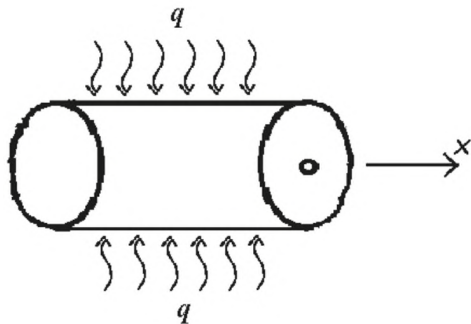
Әрбір дискретті әлементтің ұзындығына қарай температура өрісін анықтауды автоматтандыру үшін сақтау заны қолданылады. Мысалы, зерттелетін өзектің бірінші дискретті әлементін қарастырайық.



Бұл әлемент үшін толық жылу энергиясының функционалы келесі түрге ие болады [1].

$$I_1 = \int_{S'(x=0)} \frac{h}{2} (T - T_{oc})^2 dS + \int_{V_1} \frac{k_{xx}}{2} \left( \frac{dT}{dx} \right)^2 dV = \frac{Fh}{2} (T_1 - T_{oc})^2 + \frac{Fk_{xx}}{6l} (7T_1^2 - 16T_1T_2 + 2T_1T_3 - 16T_2T_3 + 16T_2^2 + 7T_3^2). \quad (2)$$

Енді зерттелетін өзектің екінші дискретті әлементін қарастырайық.



Бұл элемент үшін толық жылу энергиясы функционалының келесі түрге ие:

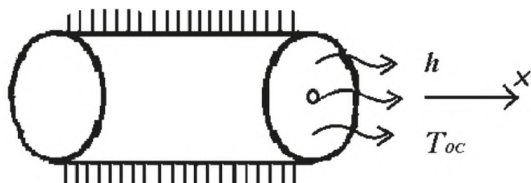
$$I_2 = \int_{S_{\text{небл}}^2} qT dS' + \int_{V_2} \frac{k_{xx}}{2} \left( \frac{dT}{dx} \right)^2 dV.$$

Мұнда  $S_{\text{небл}}$  - екінші дискретті элементтің бүйірлік бетінің ауданы.

$I_2$  функционалының интеграцияланған түрі мынадай болады:

$$I_2 = \frac{\pi rql}{3} (T_3 + 2T_4 + T_5) + \frac{Fk_{xx}}{6l} (7T_3^2 - 16T_3T_4 + 2T_3T_5 - 16T_4T_5 + 16T_4^2 + 7T_5^2). \quad (3)$$

Үшінші дискретті элементті қарастырайық.



Үшінші элемент үшін толық жылу энергиясының функционалы келесі түрге ие:

$$I_3 = \int_{S(x=L)} \frac{h}{2} (T - T_{OC})^2 dS + \int_{V_3} \frac{k_{xx}}{2} \left( \frac{dT}{dx} \right)^2 dV = \frac{Fh}{2} (T_7 - T_{OC})^2 + \frac{Fk_{xx}}{6l} (7T_5^2 - 16T_5T_6 + 2T_5T_7 - 16T_6T_7 + 16T_6^2 + 7T_7^2). \quad (4)$$

Сонда зерттелетін өзек үшін толық жылу энергиясының функционалы келесі түрге ие:  $I = I_1 + I_2 + I_3$ . (5)

(2-4) формулаларында мыналар орын алады:

$$\begin{aligned} T_1 &= T(x = 0); \quad T_2 = T\left(x = \frac{l}{2}\right); \quad T_3 = T(x = l); \quad T_4 = T\left(x = \frac{3l}{2}\right); \\ T_5 &= T(x = 2l); \quad T_6 = T\left(x = \frac{5l}{2}\right); \quad T_7 = T(x = 3l = L). \end{aligned}$$

Энергияны сақтау заңын орындау жағдайына байланысты мынадай

$$\frac{dl}{dT_i} = 0; \quad (i = 1 \div 7). \quad (6)$$

Енді осы тендеулер жүйесін құрамыз:

$$\left. \begin{aligned} \frac{dy}{dT_1} &= 0; \Rightarrow \frac{Fk_{xx}}{3l} (7T_1 - 8T_2 + T_3) + FhT_1 = FhT_{OC}; \\ \frac{dy}{dT_2} &= 0; \Rightarrow \frac{Fk_{xx}}{6l} (-8T_1 - 8T_3 + 16T_2) = 0; \\ \frac{dy}{dT_3} &= 0; \Rightarrow \frac{Fk_{xx}}{3l} (T_1 - 8T_2 + 14T_3 - 8T_4 + T_5) = -\frac{\pi rql}{3}; \\ \frac{dy}{dT_4} &= 0; \Rightarrow \frac{Fk_{xx}}{3l} (-8T_3 - 8T_5 + 16T_4) = \frac{2\pi rql}{3}; \\ \frac{dy}{dT_5} &= 0; \Rightarrow \frac{Fk_{xx}}{3l} (T_3 - 8T_4 + 14T_5 - 8T_6 + T_7) = -\frac{\pi rql}{3}; \\ \frac{dy}{dT_6} &= 0; \Rightarrow \frac{Fk_{xx}}{3l} (-8T_5 - 8T_7 + 16T_6) = 0; \\ \frac{dy}{dT_7} &= 0; \Rightarrow \frac{Fk_{xx}}{3l} (T_5 - 8T_6 + 7T_7) + FhT_7 = FhT_{OC}. \end{aligned} \right\} \quad (7)$$

Немесе шағын жөнделетуден кейін мынаны аламыз

$$\left. \begin{aligned} \left(\frac{7k_{xx}}{3l} + h\right)T_1 - \frac{8k_{xx}}{3l}T_2 + \frac{k_{xx}}{3l}T_3 &= hT_{OC}; \\ T_1 - 2T_2 + T_3 &= 0; \\ T_1 - 8T_2 + 14T_3 - 8T_4 + T_5 &= -\frac{q l^2}{r k_{xx}}; \\ T_3 - 2T_4 + T_5 &= -\frac{2q l^2}{r k_{xx}}; \\ T_3 - 8T_4 + 14T_5 - 8T_6 + T_7 &= -\frac{q l^2}{r k_{xx}}; \\ T_5 - 2T_6 + T_7 &= 0; \\ T_5 - 8T_6 + \left(7 + \frac{3h l}{k_{xx}}\right)T_7 &= \frac{3h T_{OC} l}{k_{xx}}. \end{aligned} \right\} \quad (8)$$

(8) жүйені шешу арқылы  $T_i$ , ( $i = 1 \div 7$ ). тораптық мәндері анықталады. Кейін үш дискретті элементтердің ұзындығы бойынша температуралық таралу заңдары анықталады [3].

$$\left. \begin{aligned} T^I(x) &= \frac{2x^2 - 3lx + l^2}{l^2} T_1 + \frac{4lx - 4x^2}{l^2} T_2 + \frac{2x^2 - lx}{l^2} T_3, \\ T^{II}(x) &= \frac{2x^2 - 3lx + l^2}{l^2} T_3 + \frac{4lx - 4x^2}{l^2} T_4 + \frac{2x^2 - lx}{l^2} T_5, \\ T^{III}(x) &= \frac{2x^2 - 3lx + l^2}{l^2} T_5 + \frac{4lx - 4x^2}{l^2} T_6 + \frac{2x^2 - lx}{l^2} T_7, \end{aligned} \right\} 0 \leq x \leq l. \quad (9)$$

Енді өзектің бір үшін қатты-қорғалған болса, онда оның термиялық ұзаруын анықтаймыз.

$$\Delta l_T = \int_0^L \alpha T(x) dx = \int_0^l \alpha T^I(x) dx + \int_0^l \alpha T^{II}(x) dx + \int_0^l \alpha T^{III}(x) dx = \frac{\alpha l}{6} (T_1 + 4T_2 + 2T_3 + 4T_4 + 2T_5 + 4T_6 + T_7). \quad (10)$$

Егер өзектің екі үштары да қатты-қорғалған болса, онда өзек ұзара да және, қысқара да алмайды. Бірақ жылу кеңеюінен остық қысу күші R [кг] пайда болады. Оның мәні деформацияның үйлесімділігінен анықталады [2].

$$R = \frac{\Delta l_{TEF}}{L} \quad (11)$$

Мұнда L - өзектің ұзындығы; E - өзек материалының серпімділік модулі; F - көлденең қиманың ауданы. (10) -ды (11)-ге қою арқылы мынаны алады:

$$R = \frac{\alpha E Fl}{6L} (T_1 + 4T_2 + 2T_3 + 4T_4 + 2T_5 + 4T_6 + T_7) \quad (12)$$

Бұл жағдайда өзек қимасында  $\sigma \left[ \frac{N}{mm^2} \right]$  термо-серпімді құраушы кернеу пайда болады. Оның мәні Гүктың жалпыланған заңына сәйкес анықталады.

$$\sigma = \frac{R}{F} = \frac{\alpha El}{6L} (T_1 + 4T_2 + 2T_3 + 4T_4 + 2T_5 + 4T_6 + T_7)$$

Содан кейін термо-серпімді деформация да Гүк заңы бойынша анықталады.

$$\varepsilon = \frac{\sigma}{E} = \frac{\alpha l}{6L} (T_1 + 4T_2 + 2T_3 + 4T_4 + 2T_5 + 4T_6 + T_7) \quad (14)$$

(14) формуладан деформация өлшемсіз болатындығы көрінеді.

Жылу физикасының іргелі заңы негізінде деформацияның температуралық құрамдас бөлігінің таралу заңы анықталады

$$\varepsilon_T(x) = -\alpha T(x) \frac{\alpha}{l^2} \left[ \frac{(2x^2 - 3lx + l^2)(T_1 + T_3 + T_5) + (4lx - 4x^2)}{(T_2 + T_4 + T_6) + (2x^2 - lx)(T_3 + T_5 + T_7)} \right], \quad 0 \leq x \leq l. \quad (15)$$

Сонда Гук Заңына сәйкес зерттелетін өзектің ұзындығы бойынша көрнөудің температуралық құрауышының таралу заңы келесідей анықталады.

$$\begin{aligned}\sigma_T(x) = E \cdot \varepsilon_T(x) &= -\frac{\alpha E}{l^2} [(2x^2 - 3lx + l^2)(T_1 + T_3 + T_5) \\ &+ (4lx - 4x^2)(T_2 + T_4 + T_6) + (2x^2 - lx)(T_3 + T_5 + T_7)], \\ 0 \leq x \leq l.\end{aligned}\quad (16)$$

Серпімді құраушы деформацияны анықтау заңын термосерпімді іргелі заңдары негізінде зерттелетін өзектің ұзындығы бойынша анықтауға болады.

$$\begin{aligned}\varepsilon_x(x) = \varepsilon - \varepsilon_T(x) &= \frac{\alpha l}{6L}(T_1 + 4T_2 + 2T_3 + 4T_4 + 2T_5 + 4T_6 + T_7) + \\ &\frac{\alpha}{l^2} [(2x^2 - 3lx + l^2)(T_1 + T_3 + T_5) + (4lx - 4x^2)(T_2 + T_4 + T_6) + \\ &(2x^2 - lx)(T_3 + T_5 + T_7)], \quad 0 \leq x \leq l.\end{aligned}\quad (17)$$

Сонда өзек ұзындығы бойынша көрнөудің серпімді құраушысының таралу заңы Гук заңы негізінде анықталады [1].

$$\begin{aligned}\sigma_x(x) = E \cdot \varepsilon_x(x) &= \frac{\alpha El}{6L}(T_1 + 4T_2 + 2T_3 + 4T_4 + 2T_5 + 4T_6 + T_7) + \\ &\frac{\alpha E}{l^2} [(2x^2 - 3lx + l^2)(T_1 + T_3 + T_5) + (4lx - 4x^2)(T_2 + T_4 + T_6) + \\ &(2x^2 - lx)(T_3 + T_5 + T_7)], \quad 0 \leq x \leq l.\end{aligned}\quad (18)$$

Қозғалу өрісін анықтау үшін өрбір дискретті элементке серпімді деформацияның әлеуетті энергиясының функционалын жазамыз. Мысалы, бірінші дискретті элемент үшін функционалдың келесі түрге ие:

$$\begin{aligned}\Pi_1 &= \int_{V_1} \frac{\sigma_x}{2} \varepsilon_x^{(I)} dV - \int_{V_1} \alpha ET^{(I)}(x) \cdot \varepsilon_x^{(I)} dV = \int_{V_1} \frac{E\varepsilon_x^{(I)}}{2} dV - \int_{V_1} \alpha ET^{(I)}(x) \cdot \\ &\varepsilon_x^{(I)} dV = \frac{EF}{2} \int_0^l [\varepsilon_x^{(I)}]^2 dV - \alpha EF \int_0^l T^{(I)}(x) \cdot \varepsilon_x^{(I)} dx = \frac{EF}{2} \int_0^l \left[ \frac{\partial U^{(I)}}{\partial x} \right]^2 dx - \\ &\alpha EF \int_0^l T^{(I)}(x) \cdot \frac{\partial U^{(I)}}{\partial x} dx = \frac{EF}{2l^2} \int_0^l [(4x - 3l)U_1 + (4l - 8x)U_2 + (4x - l)U_3] \cdot \\ &[(4x - 3l)U_1 + (4l - 8x)U_2 + (4x - l)U_3] dx - \frac{\alpha EF}{l^4} \int_0^l [(2x^2 - 3lx + l^2)T_1 + \\ &(4lx - 4x^2)T_2 + (2x^2 - lx)T_3] \cdot [(4x - 3l)U_1 + (4l - 8x)U_2 + (4x - \\ &l)U_3] dx = \frac{EF}{2l^4} \int_0^l [(16x^2 - 24lx + 9l^2)U_1^2 + (80lx - 64x^2 - 24l^2 + \\ &48lx)U_1U_2 + (32x^2 - 32lx + 6l^2)U_1U_3 + (48lx - 8l^2 - 64x^2)U_2U_3 + \\ &(16l^2 - 64lx + 64x^2)U_2^2 + (16x^2 - 8lx + l^2)U_3^2] dx - \frac{\alpha EF}{l^4} \int_0^l [(8x^3 - 6lx^2 - \\ &12lx^2 + 9l^2x + 4l^2x - 3l^3)T_1U_1 + (8lx^2 - 16x^3 - 12l^2x + 24lx^2 + 4l^3 - \\ &8l^2x)T_1U_2 + (8x^3 - 2lx^2 - 12lx^2 + 3l^2x + 4l^2x - l^3)T_1U_3 + (16lx^2 -\end{aligned}$$

$$\begin{aligned}
 & 12l^2x - 16x^3 + 12lx^2)T_2U_1 + (16l^2x - 32lx^2 - 16lx^2 + 32x^3)T_2U_2 + \\
 & (16lx^2 - 4l^2x - 16x^3 + 4lx^2)T_2U_3 + (8x^3 - 6lx^2 - 4lx^2 + 3l^2x)T_3U_1 + \\
 & (8lx^2 - 16x^3 - 4l^2x + 8lx^2)T_3U_2 + (8x^3 - 2lx^2 - 4lx^2 + l^2x)T_3U_3]dx = \\
 & \frac{EF}{2l^4} \left[ \left( \frac{16x^3}{3} - 12lx^2 + 9l^2x \right) U_1^2 + \left( 40lx^2 - \frac{64x^3}{3} + 24lx^2 - 24l^2x \right) U_1U_2 + \right. \\
 & \left( \frac{32x^3}{3} - 16lx^2 + 6l^2x \right) U_1U_3 + \left( 24lx^2 - 8l^2x - \frac{64x^3}{3} \right) U_2U_3 + \left( 16l^2x - \right. \\
 & \left. 32lx^2 + \frac{64x^3}{3} \right) U_2^2 + \left. \left( \frac{16x^3}{3} - 4lx^2 + l^2x \right) U_3^2 \right] \Big|_0^l - \frac{\alpha EF}{l^4} \left[ \left( 2x^4 - 6lx^3 + \frac{13l^2x^2}{2} - \right. \right. \\
 & \left. \left. 3l^3x \right) T_1U_1 + \left( \frac{32lx^3}{3} - 4x^4 - 10l^2x^2 + 4l^3x \right) T_1U_2 + \left( 2x^4 - 6lx^3 + \frac{7l^2x^2}{2} - \right. \right. \\
 & \left. \left. l^3x \right) T_1U_3 + \left( \frac{28lx^3}{3} - 6l^2x^2 - 4x^4 \right) T_2U_1 + \left( 8l^2x^2 - 16lx^3 + 8x^4 \right) T_2U_2 + \right. \\
 & \left. \left( \frac{20lx^3}{3} - 2l^2x^2 - 4x^4 \right) T_2U_3 + \left( 2x^4 - \frac{10lx^3}{3} + \frac{3l^2x^2}{2} \right) T_3U_1 + \left( \frac{16lx^3}{3} - 4x^4 - \right. \right. \\
 & \left. \left. 2l^2x^2 \right) T_3U_2 + \left( 2x^4 - 2lx^3 + \frac{l^2x^2}{2} \right) T_3U_3 \right] \Big|_0^l = \frac{EF}{2l^4} \left[ \frac{7l^3}{3} U_1^2 + \frac{56l^3}{3} U_1U_2 + \right. \\
 & \left. \frac{2l^3}{3} U_1U_3 - \frac{16l^3}{3} U_2U_3 + \frac{16l^3}{3} U_2^2 + \frac{7l^3}{3} U_3^2 \right] - \frac{\alpha EF}{l^4} \left[ -\frac{l^4}{2} T_1U_1 + \frac{2l^4}{3} T_1U_2 - \right. \\
 & \left. \frac{3l^4}{2} T_1U_3 - \frac{2l^4}{3} T_2U_1 + \frac{2l^4}{3} T_2U_3 + \frac{l^4}{6} T_3U_1 - \frac{2l^4}{3} T_3U_2 + \frac{l^4}{2} T_3U_3 \right] = \frac{EF}{6l} (7U_1^2 + \\
 & 56U_1U_2 + 2U_1U_3 - 16U_2U_3 + 16U_2^2 + 7U_3^2) - \alpha EF \left( -\frac{1}{2} T_1U_1 + \frac{2}{3} T_1U_2 - \right. \\
 & \left. \frac{3}{2} T_1U_3 - \frac{2}{3} T_2U_1 + \frac{2}{3} T_2U_3 + \frac{1}{6} T_3U_1 - \frac{2}{3} T_3U_2 + \frac{1}{2} T_3U_3 \right).
 \end{aligned}$$

2-ші және 3-ші дискретті элемент үшін серпімді деформацияның өлеуетті энергиясы функционалдың интеграцияланған түрі келесі түрге ие:

$$\begin{aligned}
 \Pi_2 = & \frac{EF}{6l} (7U_3^2 + 56U_3U_4 + 2U_3U_5 - 16U_4U_5 + 16U_4^2 + 7U_5^2) - \alpha EF \left( -\frac{1}{2} T_3U_3 \right. \\
 & \left. + \frac{2}{3} T_3U_4 - \frac{3}{2} T_3U_5 - \frac{2}{3} T_4U_3 + \frac{2}{3} T_4U_5 + \frac{1}{6} T_5U_3 - \frac{2}{3} T_5U_4 + \frac{1}{2} T_5U_5 \right). \quad (20)
 \end{aligned}$$

$$\begin{aligned}
 \Pi_3 = & \frac{EF}{6l} (7U_5^2 + 56U_5U_6 + 2U_5U_7 - 16U_6U_7 + 16U_6^2 + 7U_7^2) - \alpha EF \left( -\frac{1}{2} T_5U_5 \right. \\
 & \left. + \frac{2}{3} T_5U_6 - \frac{3}{2} T_5U_7 - \frac{2}{3} T_6U_5 + \frac{2}{3} T_6U_7 + \frac{1}{6} T_7U_5 - \frac{2}{3} T_7U_6 + \frac{1}{2} T_7U_7 \right). \quad (21)
 \end{aligned}$$

Содан кейін зерттелетін өзек үшін серпімді деформацияның өлеуетті энергиясын білдіру келесі түрге ие:

$$\Pi = \sum_{i=1}^3 \Pi_i \quad (22)$$

Өзектің екі ұшы қатты-қорғалғандықтан  $U_1 = U_2 = U_3 = 0$

Тіркелген қималардың орнын ауыстыру мәндері сыйықты алгебралық теңдеулер жүйесінен анықталады:

$$\frac{\partial \Pi}{\partial U_i} = i, i = 2 \div 6. \quad (23)$$

(24, 25) жүйені шешу арқылы  $U_i$  ( $i = 1 \div 7$ ) мәндері есептеледі. Олар бойынша үш дискретті элементтердің ұзындығы бойынша жылжууды бөлу заңы анықталады.

$$\left. \begin{aligned} \frac{\partial \Pi}{\partial U_2} &= 0; \Rightarrow \frac{EF}{6l} (-16U_3 + 32U_2) - \alpha EF \left( \frac{2}{3}T_1 - \frac{2}{3}T_3 \right) = 0; \\ \frac{\partial \Pi}{\partial U_3} &= 0; \Rightarrow \frac{EF}{6l} (-16U_2 + 28U_3 + 56U_4 + 2U_5) - \\ &\quad \alpha EF \left( -\frac{3}{2}T_1 + \frac{2}{3}T_2 - \frac{2}{3}T_4 + \frac{1}{6}T_5 \right) = 0; \\ \frac{\partial \Pi}{\partial U_4} &= 0; \Rightarrow \frac{EF}{6l} (56U_3 - 16U_5 + 32U_4) - \alpha EF \left( \frac{2}{3}T_3 - \frac{2}{3}T_5 \right) = 0; \\ \frac{\partial \Pi}{\partial U_5} &= 0; \Rightarrow \frac{EF}{6l} (24U_3 - 16U_4 + 28U_5 + 56U_6 + 2U_7) - \\ &\quad \alpha EF \left( -\frac{3}{2}T_3 + \frac{2}{3}T_4 - \frac{2}{3}T_6 + \frac{1}{6}T_7 \right) = 0; \\ \frac{\partial \Pi}{\partial U_6} &= 0; \Rightarrow \frac{EF}{6l} (56U_5 - 16U_7 + 32U_6) - \\ &\quad \alpha EF \left( -\frac{2}{3}T_5 - \frac{2}{3}T_7 \right) = 0. \end{aligned} \right\} \quad (24)$$

$$\left. \begin{aligned} U^I(x) &= \frac{4lx-4x^2}{l^2}U_2 + \frac{2x^2-lx}{l^2}U_3, \\ U^{II}(x) &= \frac{2x^2-3lx+l^2}{l^2}U_3 + \frac{4lx-4x^2}{l^2}U_4 + \frac{2x^2-lx}{l^2}U_5, \\ U^{III}(x) &= \frac{2x^2-3lx+l^2}{l^2}U_5 + \frac{4lx-4x^2}{l^2}U_6, \end{aligned} \right\} 0 \leq x \leq l. \quad (25)$$

**Зерттеу нәтижелері.** Баяндалғанды апробациялау үшін келесі бастапқы деректерді қабылдаймыз.

$$\begin{aligned} L &= 30\text{cm}; n = 3; l = \frac{l}{n} = 10\text{cm}; T_{OC1} = 20^\circ\text{C}; q = -500 \frac{\text{Вт}}{\text{см}^2}; h_1 = 8 \frac{\text{Вт}}{\text{см}^2 \cdot ^\circ\text{C}}; \\ h_2 &= 10 \frac{\text{Вт}}{\text{см}^2 \cdot ^\circ\text{C}}; T_{OC2} = 40^\circ\text{C}; r = 1\text{cm}; F = \pi r^2 = \pi \text{см}^2; k_{xx} = 100 \frac{\text{Вт}}{\text{см}^2 \cdot ^\circ\text{C}}; \end{aligned}$$

Осытік күштің пайда болатын өзекшениң ұзаруы шамасын, сондай-ақ термосерпімді, температуралық және серпінді деформация мен кернөудің құрамдастарын тарату заңдарын анықтау үшін Phyton программасы құрылды. Әзірленген есептеуіш алгоритм және құрылған Phyton программасы тәндеулердің рұқсат беретін жүйелерін қалыптастыруды және қажетті заңдылықтарды құруды автоматтандыруға мүмкіндік береді. Сондай-ақ программа алынған сандық нәтижелердің графиктері түрінде құрастыруды автоматтандыруға мүмкіндік береді [4].

Шешім кезінде 13 бекітілген қимадағы температура мәндері анықталды. Олар келесі:

$$\begin{aligned} T(x = 5\text{cm}) &= 776^\circ\text{C}; T(x = 7,5\text{cm}) = 902^\circ\text{C}; \\ T(x = 10\text{cm}) &= 1028^\circ\text{C}; T(x = 12,5\text{cm}) = 1122,75^\circ\text{C}; \end{aligned}$$

$$T(x = 15\text{см}) = 1155^\circ\text{C}; T(x = 17,5\text{см}) = 1124,75^\circ\text{C};$$

$$T(x = 20\text{см}) = 1032^\circ\text{C}; T(x = 22,5\text{см}) = 908^\circ\text{C};$$

$$T(x = 25\text{см}) = 784^\circ\text{C}; T(x = 27,5\text{см}) = 660^\circ\text{C};$$

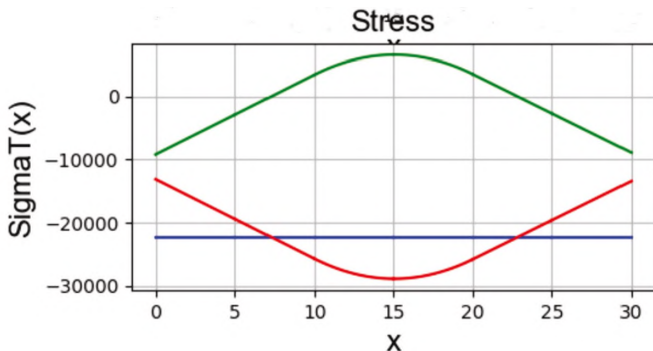
$$T(x = 30\text{см}) = 536^\circ\text{C};$$

Мұнда көлденең қиманың қоршаған ауданының температурасы  $T_{OC1} = 20^\circ\text{C}$  өзекшениң шеті көп, ал оң жақ шеті  $T_{OC2} = 40^\circ\text{C}$ . екенін атап еткен жөн. Сондықтан  $T(x = 0) < T(x = 30\text{см})$ , т.е.  $524^\circ\text{C} < 536^\circ\text{C}$ .

Қабылданған бастапқы деректер және алынған температура өрісі кезінде өзектің термиялық ұзаруының шамасы  $\Delta l_T = 0,0334\text{см}$  болады. Бұл зерттелетін өзектің бір ұшы қатты қорғалған болса, ал екіншісі бос болса пайда болады. Егер қаралып отырған өзектің екі ұшы да қатты-қорғалған болса, онда ол ұзартылмайды және қысқартылмайды. Бірақ жылу кеңею құбылысына байланысты осыткік күш пайда болады. . Біздің жағдайда пайда болатын осыткік күштің шамасы мынандай болады:

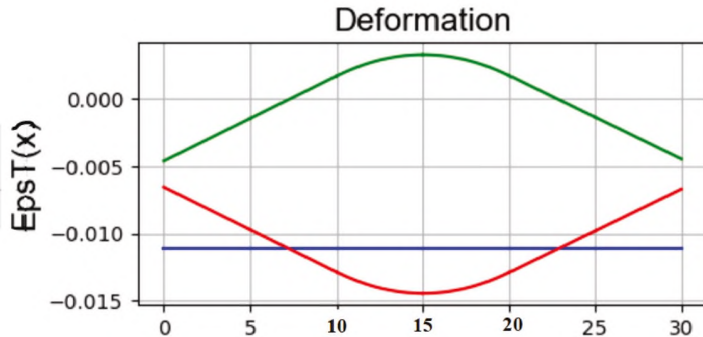
$$R = -69987,76 \text{ кг}.$$

Минус белгісі осыткік күштің қысқыш сипаты бар дегенді білдіреді.



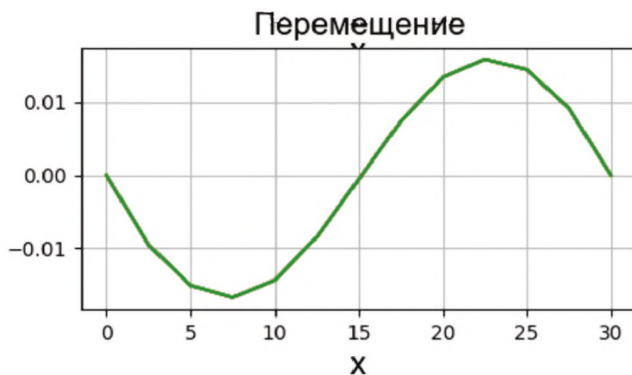
2-сурет – Кернеу құрауыштарын үлестіру Заңы.

Көк сызық-кернеудің термо-серпімді құраушысы; қызыл сызық-кернеудің температуралық құраушысы; жасыл сызық – кернеудің серпімді құраушысы.



3-сурет – Деформацияны құраушы өрістің таралу заңы.

Кек сзық-термо-серпімді деформация; қызыл сзық-температуралық деформация; жасыл сзық-серпімді деформация.



4-сурет – Өзек қымаларының таралу заңы.

2-суретте үш құраушы кернеулердің таралу заңы көлтіріледі. Бұл суретте термо-серпімді және температуралық құраушы кернеудің барлық ұзындығы бойынша қысу сипаты бар. Сол кезде ( $0 \leq x \leq 7.5\text{cm}$ ) және ( $22.5 \leq x \leq L \leq 30\text{cm}$ ) бөліктеріндегі кернеудің серпімді құраушысы қысу сипатында болады. Бірақ ол өзектің ( $7.5 \leq x \leq 22.5$ ) бөлігінде созылатын сипатқа ие. Осыған ұқсас құбылыстар деформацияның тиісті құрауыштарында да қайтапланады. Ол 3-суретте анық көрінеді. 4-суреттеннен ( $0 < \frac{L}{2}x \leq 15\text{cm}$ )

өзектің қимасы ОХ осінә қарсы қозғалатынын, ал ( $\frac{L}{2} < x < L$ ) бөлігінің қимасы керісінше ОХ осінің бағытына аудысатынын көрге болады. Ол кезде қималардың орын аудыстыруы координаттары  $x=0$ ,  $x=\frac{L}{2}$  және  $x=L$  нөлге тең болады.

**Қорытынды:** Ұсынылған әнергетикалық әдіс жергілікті жылу ағындарының, жергілікті жылу оқшаулағыштардың болуын ескере отырып, жылу алмасудың әсері кезінде шектеулі ұзындығы мен тұрақты көлденең қима өзекшелерінің термо-кернеулі қуйін зерттеуді автоматтандыруға мүмкіндік береді. Бұл ретте алынған нәтижелер әнергияны сақтаудың іргелі зандарын қанағаттандырады. Осының салдарынан олар жоғары дәлдікпен ерекшеленеді.

### Әдебиеттер

1 *Кудайкулов А., Кенжегулов Б., Мырзашева А., Кенжегурова С.* Численный метод определения удлинения стержня из жаропрочного сплава при наличии теплообмена, частичной теплоизоляции, локальной постоянной температуры.–Вестник КазАТК, 2009.

2 *Жумадиллаева А.К., Кудайкулов А.К., Ташенова Ж.М. [и др.]* моделирование установившегося нелинейно термо-напряженно-деформированного состояния теплоизолированного стержня ограниченной длины при воздействии теплового потока и теплообмена // Физико-математические науки и информационные технологии: проблемы и тенденции развития: сб. ст. по матер. II междунар. науч.-практ. конф. – Новосибирск: СиБАК, 2012.

3 *Кудайкулов А., Ногайбаева М.* Определение термо-напряженного состояния стержня переменного сечения. – International scientific review, 2016

4 *Kudaykulov A., Arshidinova M., Tashev A.* Numerical Modeling of Nonlinear Thermomechanical Processes in a Rod of Variable Cross Section in the Presence of Heat Flow.– 5th International Conference on Information Science and Control Engineering (ICISCE), 2018.

### References

1 *Kudajkulov A., Kenzhegulov B., Myrzasheva A., Kenzhegulova S.* Chislennyj metod opredeleniya udlineniya sterzhnya iz zharopronchogo splava pri nalichii teploobmena, chasticchnoj teploizolyacii, lokal'noj postoyannoj temperatury. –Vestnik KazATK, 2009.

2 *Zhumadillaeva A.K., Kudajkulov A.K., Tashenova Zh.M. [i dr.]*

modelirovanie ustanovivshegosya nelinejno termo-napryazhennodeformirovannogo sostoyaniya teploizolirovannogo sterzhnya ogranicennoj dliny` pri vozdejstvii teplovogo potoka i teploobmena // Fiziko-matematicheskie nauki i informacionnye tekhnologii: problemy` i tendenczii razvitiya: sb. st. po mater. II mezhdunar. nauch.-prakt. konf. – Novosibirsk: SibAK, 2012.

3 *Kudajkulov A., Nogajbaeva M.* Opredelenietermo-napryazhennogo sostoyaniya sterzhnya peremennogo secheniya.– International scientific review, 2016

4 *Kudaykulov A., Arshidinova M., Tashev A.* Numerical Modeling of Nonlinear Thermomechanical Processes in a Rod of Variable Cross Section in the Presence of Heat Flow.– 5th International Conference on Information Science and Control Engineering (ICISCE), 2018.

#### **Сведения об авторах**

**Избасарова А.Ж.**, IT-технологиялар, автоматтандыру және механизациялау факультетінің ????

e-mail: asiya0496@gmail.com

**Кудайкулов А.К.**, физика-математика ғылымдарының докторы, профессор  
e-mail: kudaykulov2006@mail.ru

**Ташев А.А.**, техника ғылымдарының докторы , профессор

e-mail: azattash@mail.ru